



Evidenze di Oscillazione del D^0 alle B-factories

Sommario:

- Formalismo delle oscillazioni
- Il caso del charm
- Le misure
 - Oscillazioni di Sapore
 - γ_{CP}
 - Analisi di Dalitz
- Interpretazioni e conseguenze

Formalismo (1)



- Mesoni neutri : autostati di sapore (M^0)
- Evoluzione temporale: interazioni deboli, che inducono oscillazioni e decadimenti

$$i\frac{\partial}{\partial t} \begin{pmatrix} |M^0(t)\rangle \\ |\bar{M}^0(t)\rangle \end{pmatrix} = \begin{pmatrix} M & -\frac{i}{2}\Gamma \end{pmatrix} \begin{pmatrix} |M^0(t)\rangle \\ |\bar{M}^0(t)\rangle \end{pmatrix}$$

2x2 hermitian matrices Mesons decay!

- Autostati di massa :

$$|M_{1,2}\rangle = p|M^0\rangle \pm q|\bar{M}^0\rangle$$

- ... si propagano con masse ($m_{1,2}$) e larghezze ($\Gamma_{1,2}$) definite

$$|M_{1,2}(t)\rangle = e^{-i(m_{1,2} - i\Gamma_{1,2}/2)t} |M_{1,2}(t=0)\rangle$$

Formalismo (2)



- Evoluzione temporale di uno stato prodotto con sapore definito, M^0 , al tempo $t=0$:

$$|M^0(t)\rangle = e^{-\bar{\gamma}t/2} \left(\cosh(\Delta\gamma t/2) |M^0\rangle - \frac{q}{p} \sinh(\Delta\gamma t/2) |\bar{M}^0\rangle \right)$$

- ... dove i termini

$$\Delta\gamma = (y + ix)\Gamma$$

$$\bar{\gamma} = (\Gamma_1 + \Gamma_2)/2 - i(m_1 + m_2)$$

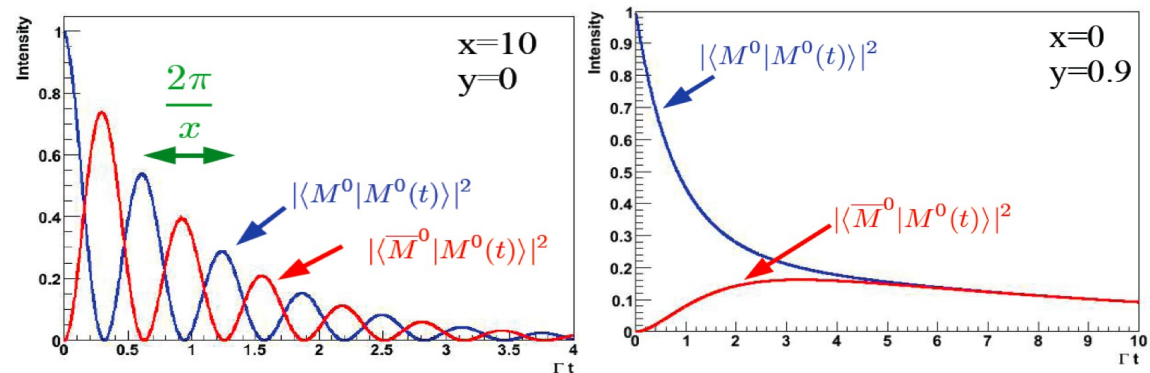
Comparsa dello stato di sapore opposto, con frequenza $\omega = 2\pi/x$

- dipendono dagli osservabili:

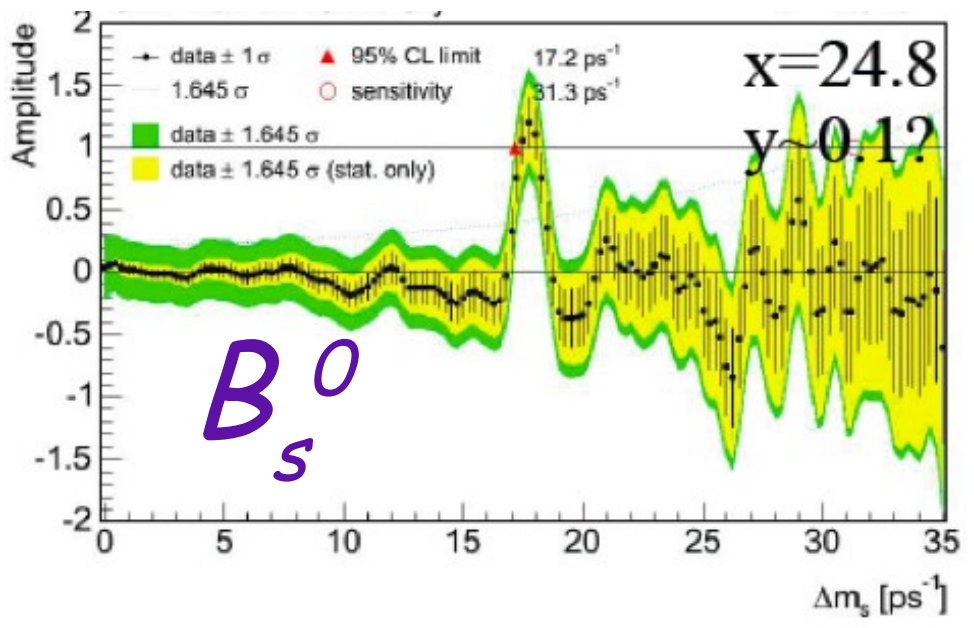
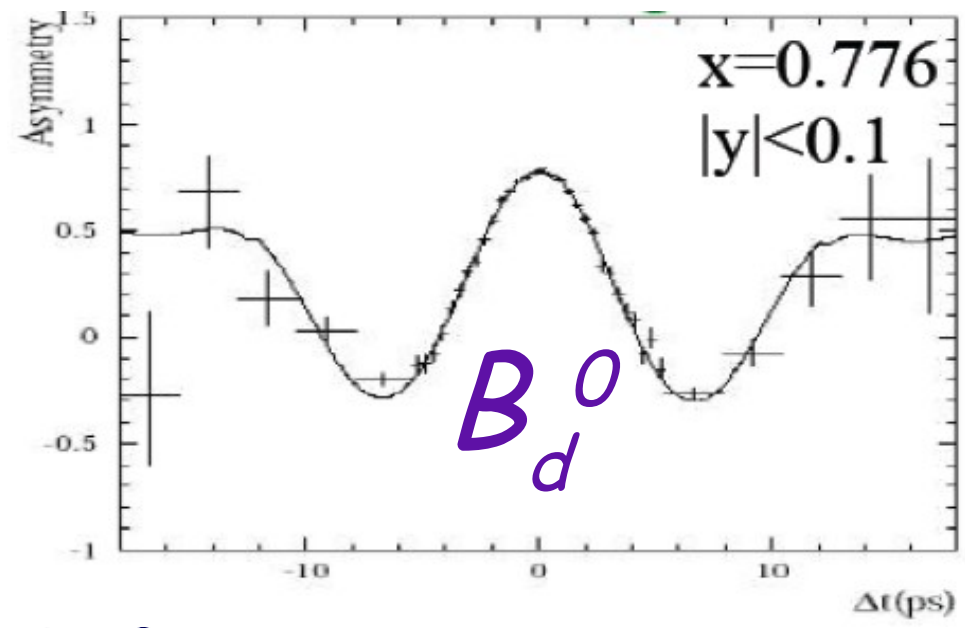
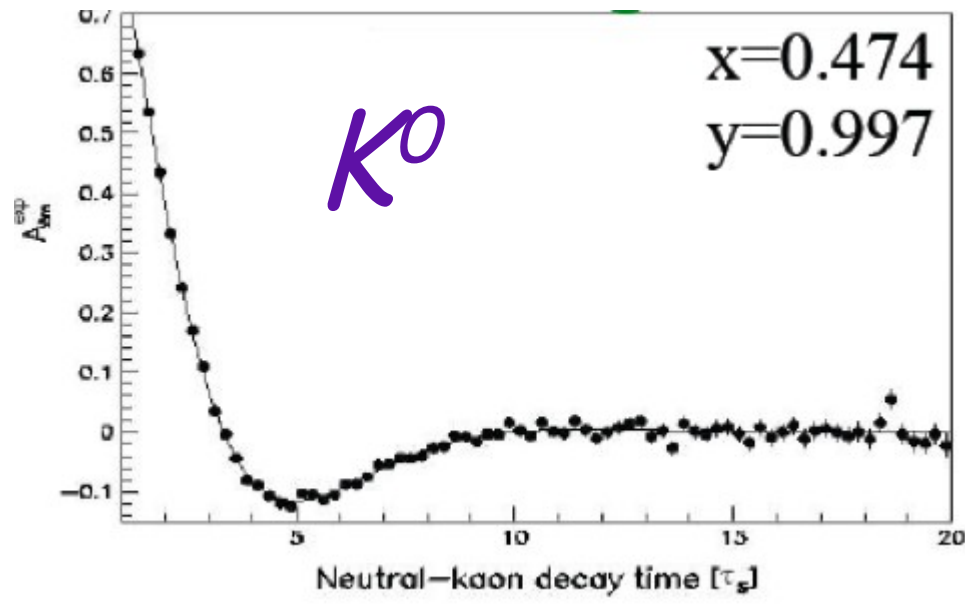
$$\Gamma = \frac{\Gamma_1 + \Gamma_2}{2} = \frac{1}{\tau}$$

$$x = \frac{\Delta m}{\Gamma}$$

$$y = \frac{\Delta\Gamma}{2\Gamma}$$



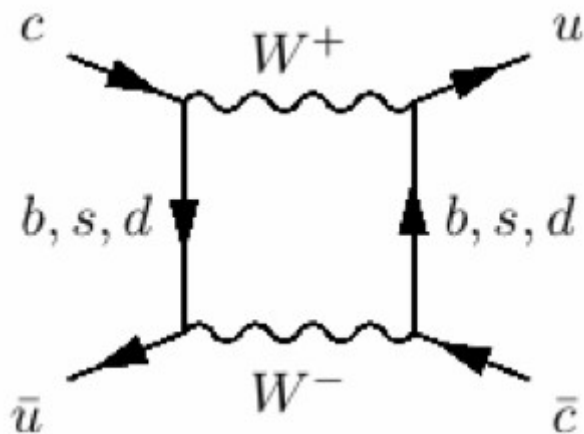
Lanello Mancante (pre-Moriond)



D-mixing : teoria



- Contributi a "corto-raggio" (quark-like)



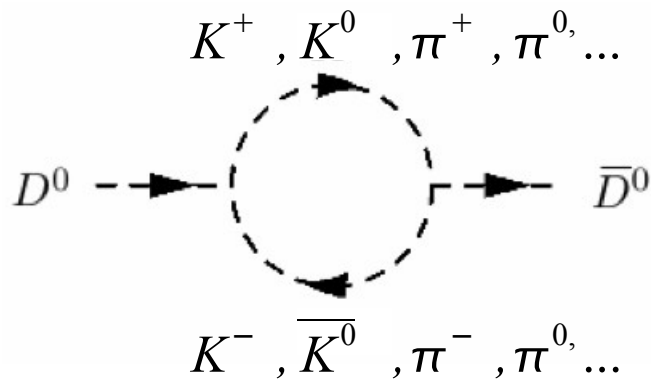
Soppressione Cabibbo

Soppressione GIM

$$H \propto \cos^2 \theta_c \sin^2 \theta_c \frac{(m_s^2 - m_d^2)^2}{m_c^2}$$

Stati Virtuali:
contribuiscono solo a x

- Contributi a "lungo-raggio" (hadron-like)



Stati Reali (Comuni):
contribuiscono a x e y

$$\sum_i \Gamma_i(\text{comuni}) \ll \Gamma(\text{tot})$$

Soppressione di fatto

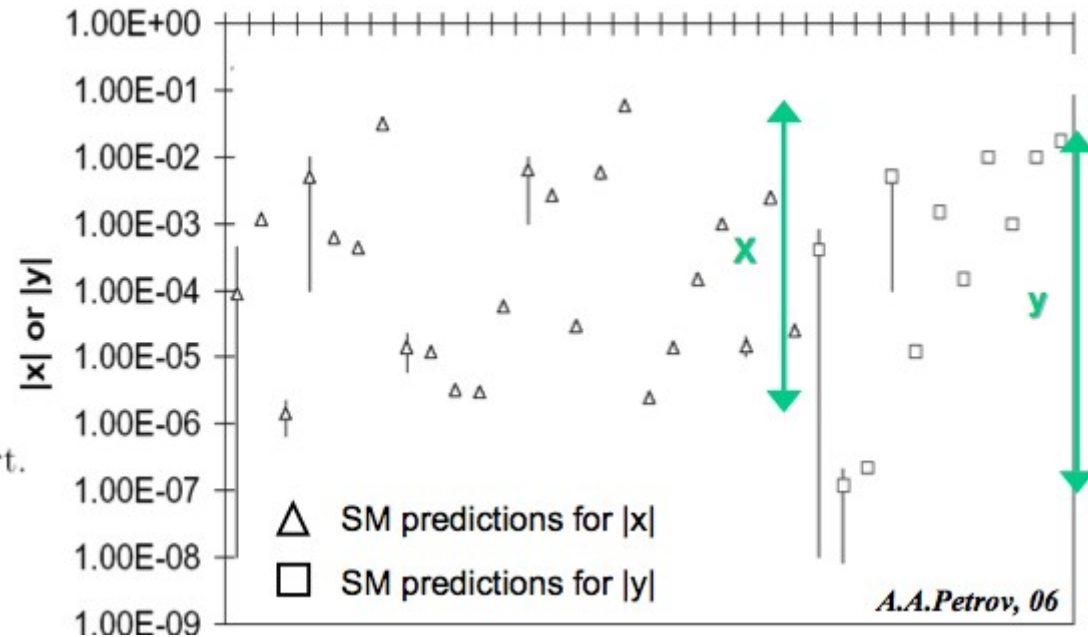
D-mixing: Predizioni ?



- SU(3) esatto : $x = y = 0$
- Difficile il calcolo delle correzioni a SU(3)
- Effetti maggiori su y ?

$$x \lesssim 10^{-3},$$
$$y \lesssim 10^{-2}$$

G. Burdman and I. Shipsey, Ann. Rev. Nucl. and Part. Sci. 53, 431 (2003).



D-mixing: Predizioni ?

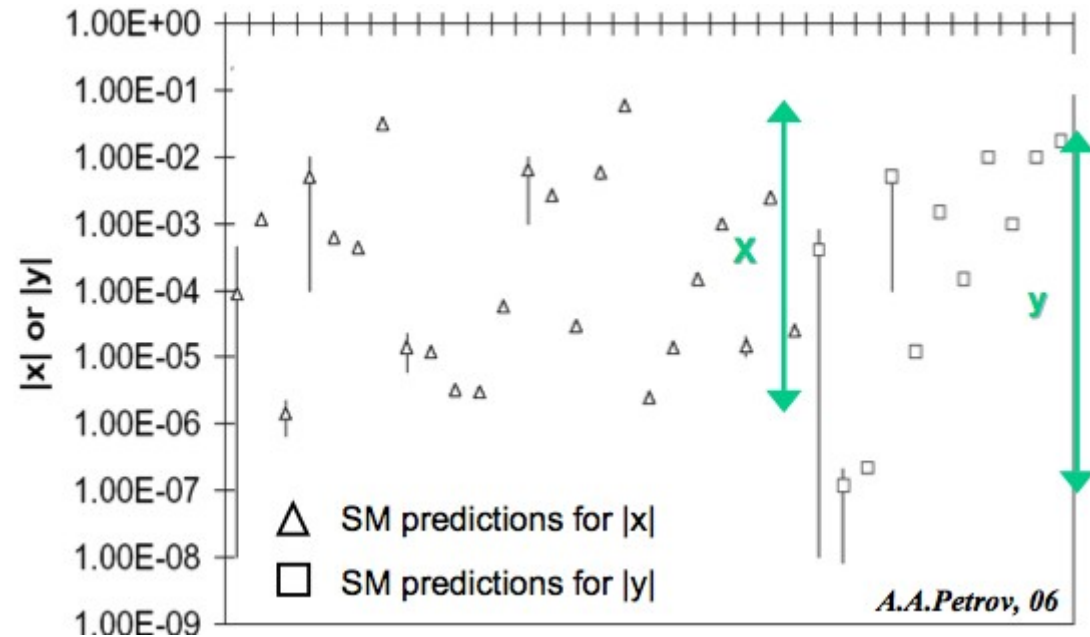
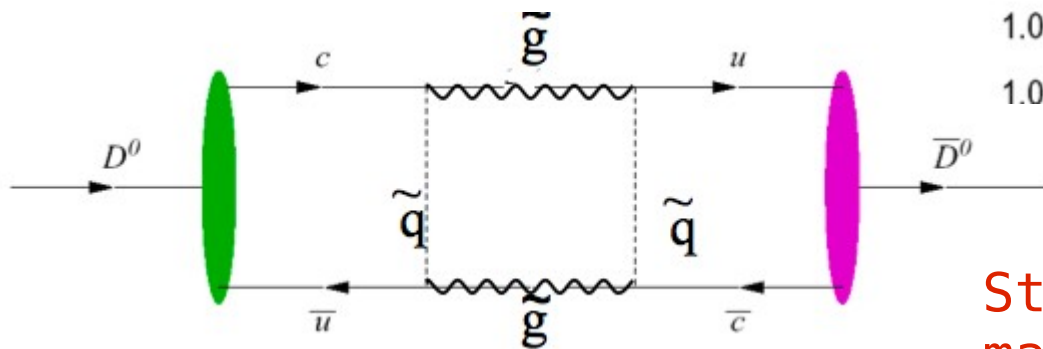


- SU(3) esatto : $x = y = 0$
- Difficile il calcolo delle correzioni a SU(3)
- Effetti maggiori su y ?

$$x \lesssim 10^{-3},$$

$$y \lesssim 10^{-2}$$

- Nuova Fisica:



Stati Virtuali: correzioni a x ,
ma difficili da quantificare

Risultati Sperimentali



Molti esperimenti in passato hanno studiato il fenomeno

- Nessuna evidenza

Prime evidenze da B-factories : Moriond 2007

- alta sezione d'urto

$$\sigma(e^+ e^-) \rightarrow c\bar{c} = 1.3 \text{ nb} \quad @ \quad \sqrt{s} \simeq 10.5 \text{ GeV}$$

- alta luminosita'

$$BABAR: \int L dt \simeq 380 \text{ fb}^{-1}, \Rightarrow 5 \times 10^8 (D \bar{D})$$

$$Belle: \int L dt \simeq 540 \text{ fb}^{-1}, \Rightarrow 7 \times 10^8 (D \bar{D})$$

- boost "naturale" $\beta \gamma c \tau \simeq 100 \mu m$

Le Evidenze Sperimentali



Oscillazione di Sapore

- BABAR



NEW

- Belle

$$D^0 \Leftrightarrow \bar{D}^0$$

hep-ex/0703020

PRL 96 151801 (2006)

Autostati di Massa

- BABAR

- Belle



NEW

$$D^0 / \bar{D}^0 \rightarrow K^+ K^-, \pi^+ \pi^-$$

PRL 91 121801 (2003)

hep-ex/0703036

Analisi di Dalitz

- BABAR

- Belle



NEW

PRL 97 221803 (2006)

hep-ex/07041000

$$D^0 / \bar{D}^0 \rightarrow K^- \pi^+ \pi^0, K 3\pi$$

$$D^0 / \bar{D}^0 \rightarrow K_s \pi^+ \pi^-$$

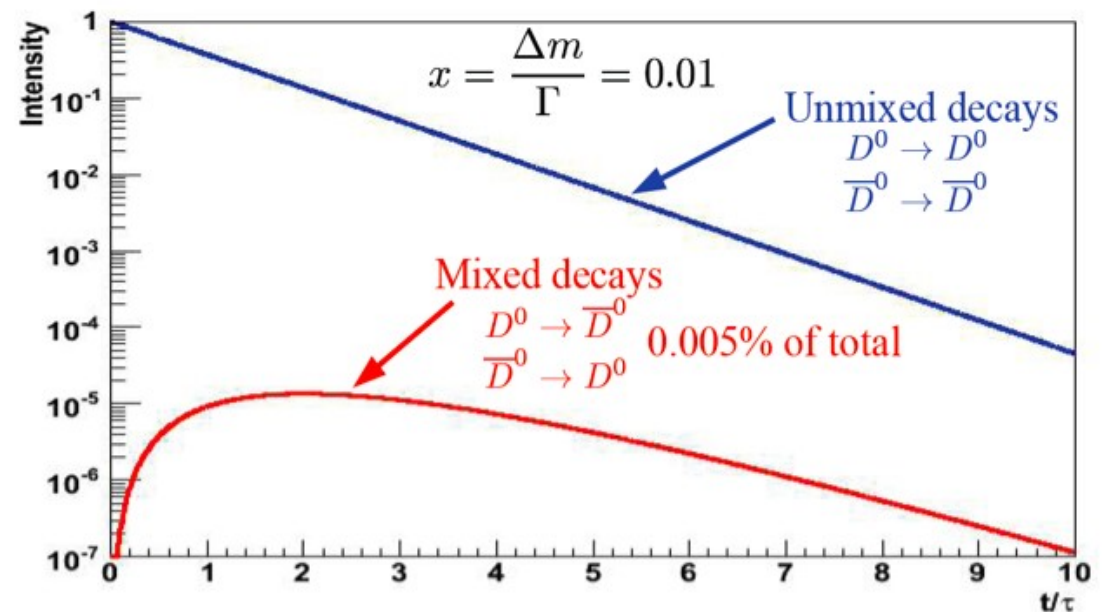
Oscillazioni $D^0 \Leftrightarrow \bar{D}^0$



- Identifica sapore (D/anti-D) in produzione ($t_0 = 0$)
- Identifica sapore (D/anti-D) al decadimento (t)
- Determina x, y dalla frazione (time-dependent) di eventi oscillati:

$$r(t) = \frac{N(D^0(0) \rightarrow \bar{D}^0(t))}{N(D^0(0))}$$

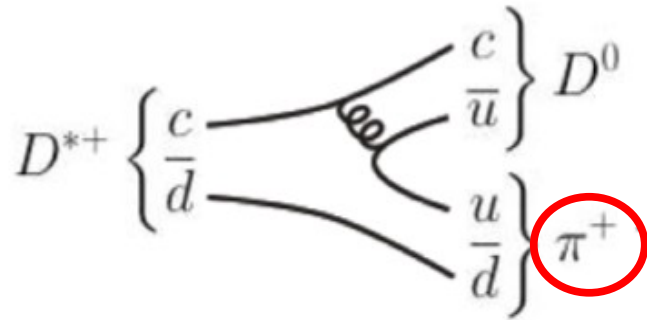
(e complesso coniugato)



Identificazione di Sapore

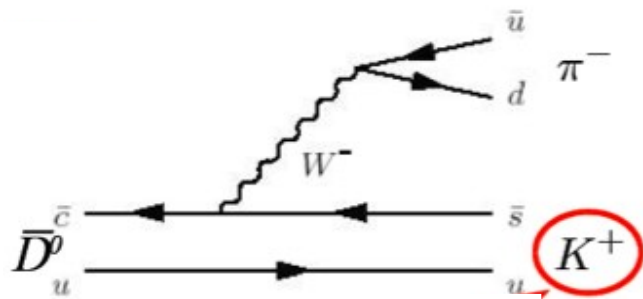


- Produzione: D^0 dal decadimento $D^{*+} \rightarrow \pi^+ D^0$ (e c.c.)



la carica del π identifica il sapore del D^0

- Decadimento: $D^0 \rightarrow K^- \pi^+$ (e c.c.)



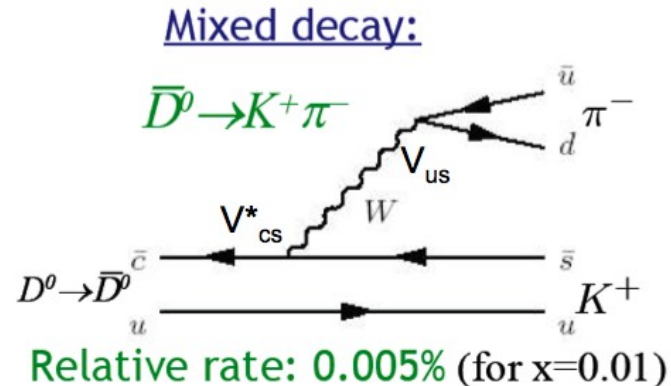
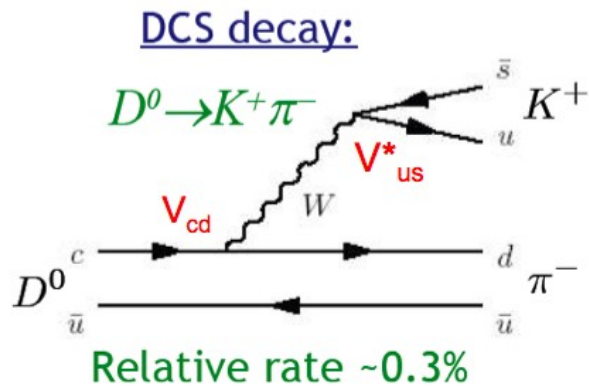
la carica del K identifica il sapore del D^0

- Schema naive: $\left\{ \begin{array}{l} \pi^\pm K^\mp: \text{un-mixed ("Right Sign")} \\ \pi^\pm K^\pm: \text{mixed ("Wrong Sign")} \end{array} \right.$

Complicazioni : DCS

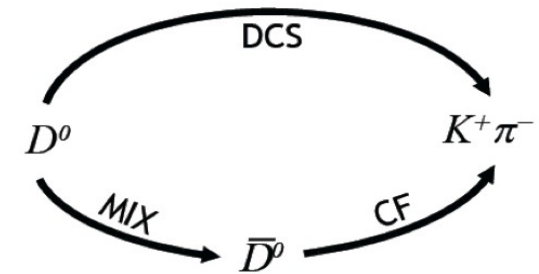


- Decadimenti Doppio Cabibbo Soppressi : falso segnale di oscillazione



- ☹ Rate confrontabile col segnale
- ☺ Nessuna struttura temporale

- Interferiscono col segnale ☺
- Introducono una fase forte (ignota) ☹



$$\frac{A_{DCS}}{A_{CF}} = -\sqrt{R_D} e^{-i\delta} \quad \begin{cases} x' = x \cos \delta + y \sin \delta \\ y' = -x \sin \delta + y \cos \delta \end{cases}$$

misuriamo dei parametri efficaci !



L'evoluzione temporale

- Includendo gli effetti di interferenza e sviluppando per i piccoli valori di x', y' :

$$r(t) = \bar{r}(t) \simeq e^{-\Gamma t} \left(\underbrace{R_D}_{\text{DCS}} + \underbrace{\sqrt{R_D} y' \Gamma t}_{\text{Interferenza}} + \underbrace{\frac{(x'^2 + y'^2)}{4} \Gamma^2 t^2}_{\text{Mix}} + \dots \right)$$

$$R_D = \frac{\Gamma(\text{DCS})}{\Gamma(\text{CF})}$$

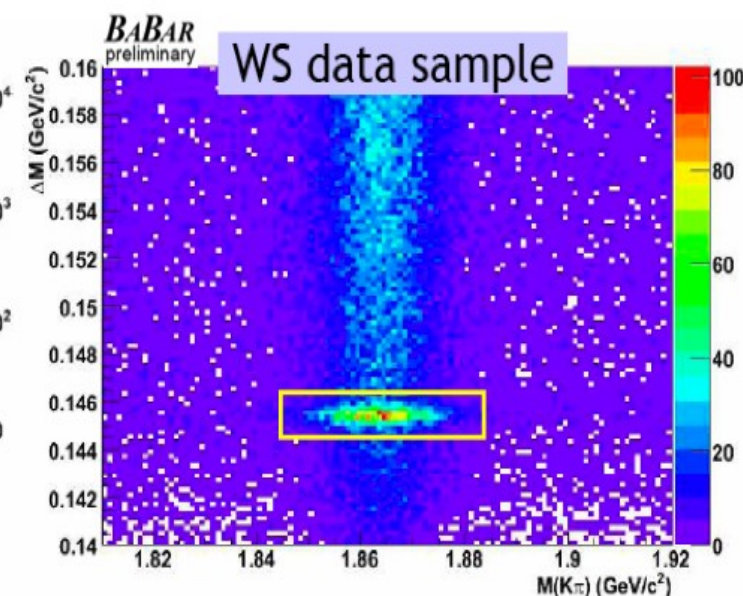
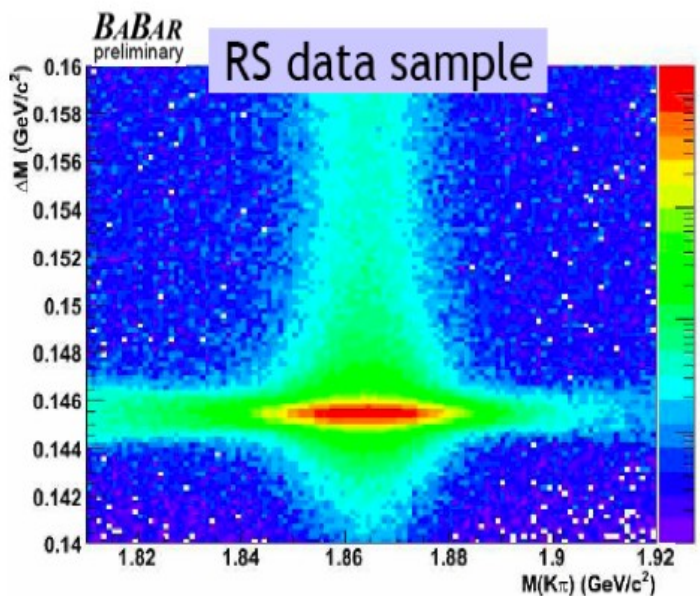
$$x' = x \cos \delta + y \sin \delta$$

$$y' = -x \sin \delta + y \cos \delta$$



$$x'^2 + y'^2 = x^2 + y^2$$

La Misura di BABAR



D⁰ selection:

- ❖ Identified K and π
- ❖ $p^*(D^0) > 2.5$ GeV/c
- ❖ $1.81 < m(K\pi) < 1.92$ GeV/c²

Slow π selection:

- ❖ $p^*(\pi_s) < 0.45$ GeV/c
- ❖ $p_{lab}(\pi_s) > 0.1$ GeV/c
- ❖ $0.14 < \Delta m < 0.16$ GeV/c²

$$\Delta m = m(K\pi\pi_s) - m(K\pi)$$

Fondi caratterizzati nei dati:

Misreconstructed D⁰:

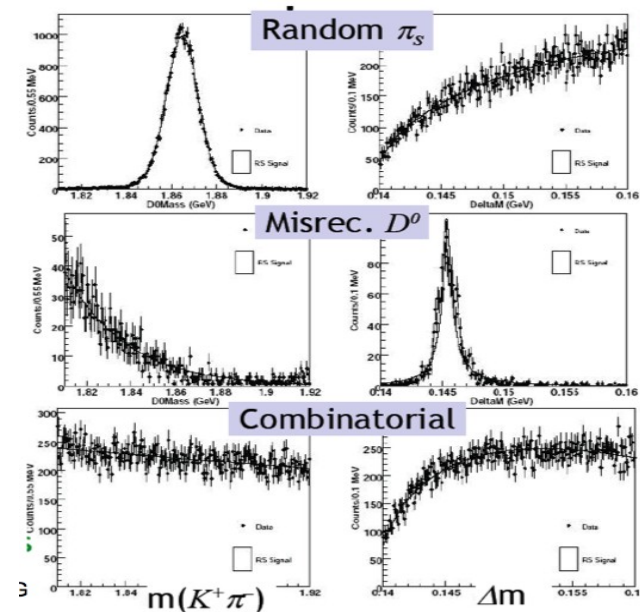
- ❖ Partially reco. D^0 ,
 $D^0 \rightarrow K^- \mu^+ \nu$
- ❖ Double misid $D^0 \rightarrow K^- \pi^+$
(WS events only)
- ❖ Peaks in Δm , not $m(K\pi)$

Random π_s :

- ❖ Correct D^0 , wrong π_s
- ❖ Peaks in $m(K\pi)$, not Δm

Combinatoric:

- ❖ Random tracks



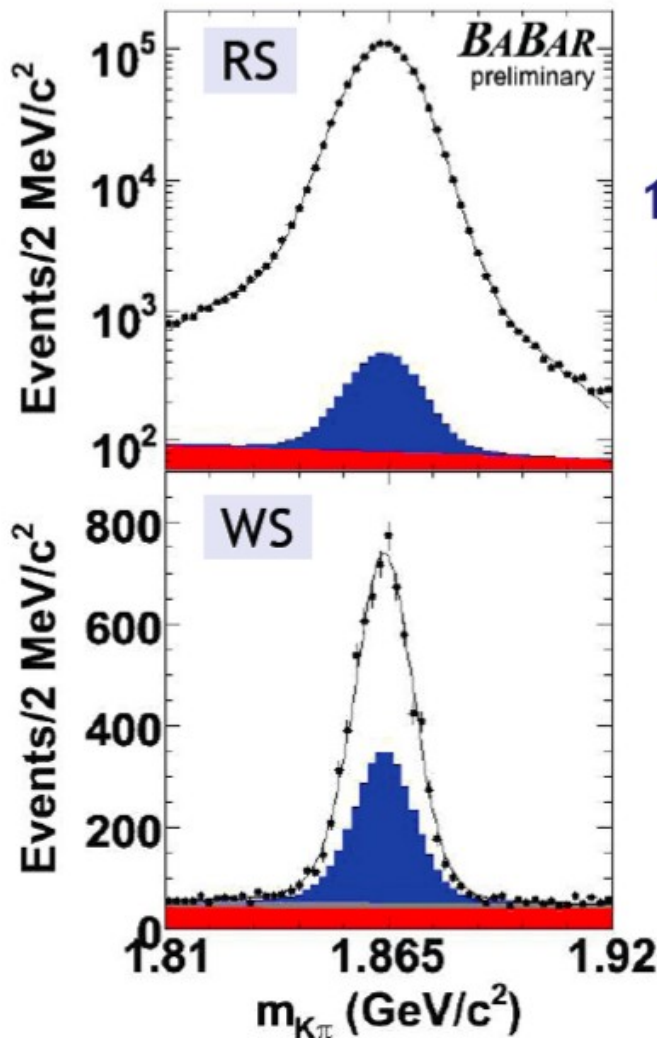
Estrazione del Segnale ...



- ... da fit simultaneo $M(K\pi)$, ΔM (incluse correlazioni)

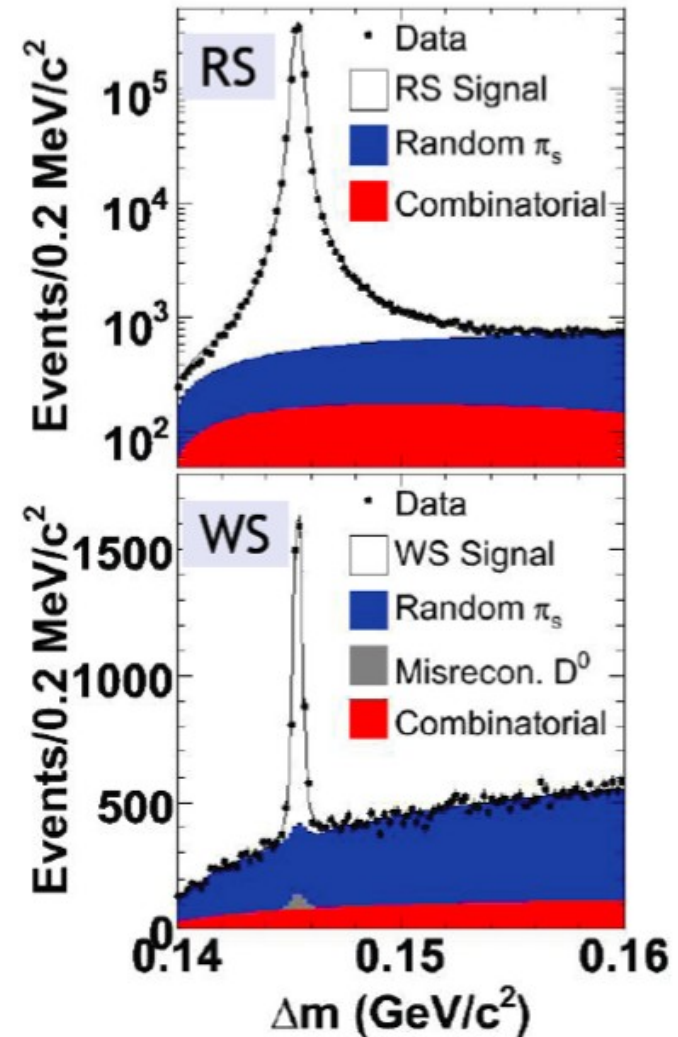
$$0.1445 < \Delta M < 0.1485 \text{ GeV}$$

$$1.843 < M(K\pi) < 1.883 \text{ GeV}$$



RS signal:
 $1,141,500 \pm 1200$
combinations

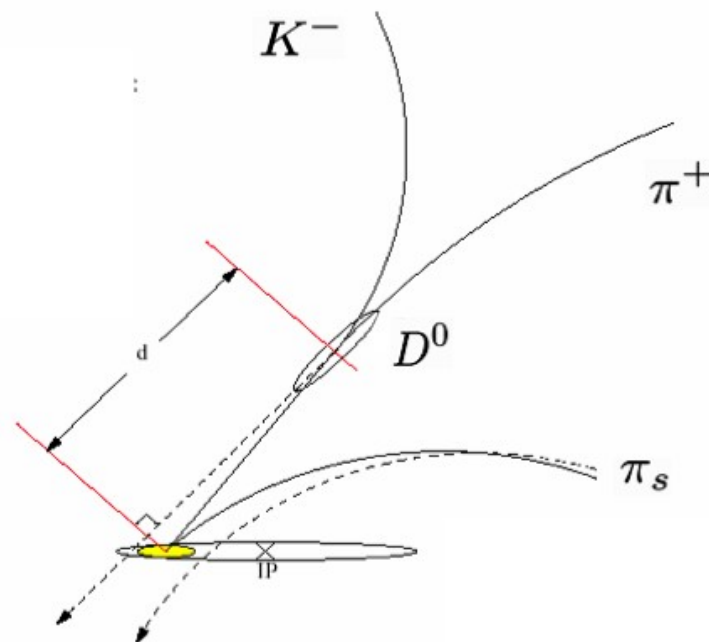
WS signal:
 $4,030 \pm 90$
combinations



Misura di t



- D^0, π_s costretti al beam-spot
- $\Pi(\text{fit}) > 0.1 \%$
- $-2 < t < 4 \text{ ps}$
- $\sigma(t) < 0.5 \text{ ps}$



$$e^{-t/\tau} \otimes \frac{1}{\sqrt{2\pi}\sigma} e^{-t^2/2\sigma^2} = \frac{1}{\sqrt{2\pi}\sigma} \int_0^{\infty} e^{-t'/\tau} e^{-(t-t')^2/2\sigma^2} dt'$$

R.S.:

Risoluzione, τ

W.S.:

R_D, x', y'

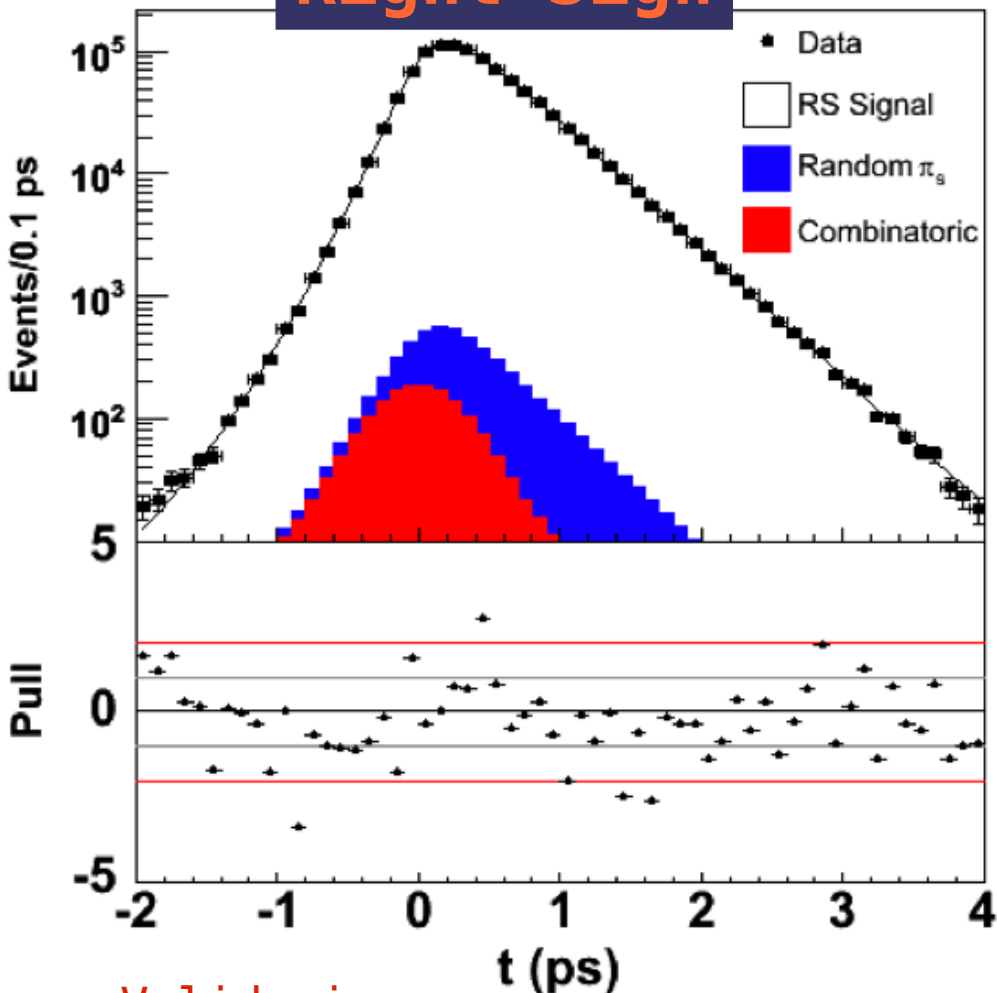
hyp:

R.S., W.S. hanno la stessa funzione di risoluzione

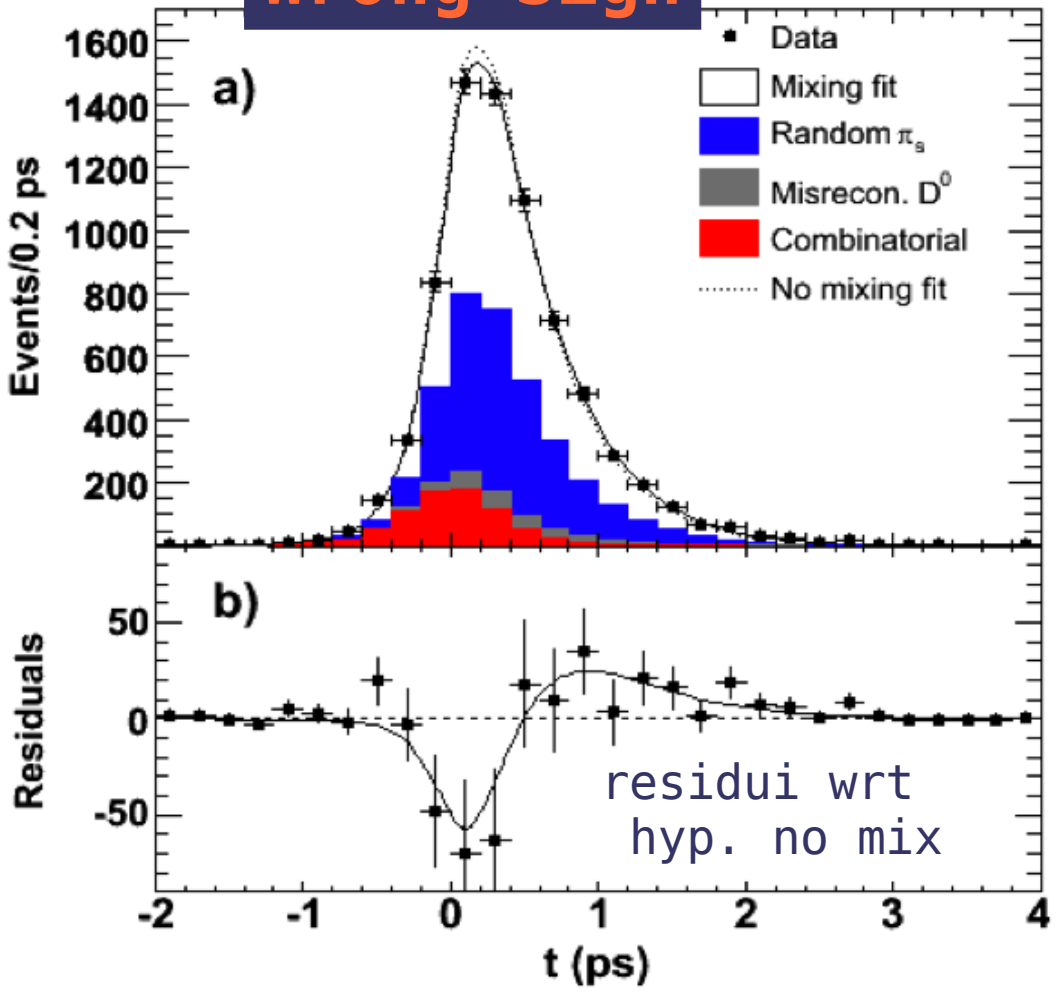
Risultati



Right Sign



Wrong Sign



Validazione:

$$\tau(D^0) = 410.3 \pm 0.6_{(stat)} \text{ fs}$$

$$\tau(D^0) = 410.1 \pm 1.1 \text{ fs (PDG)}$$

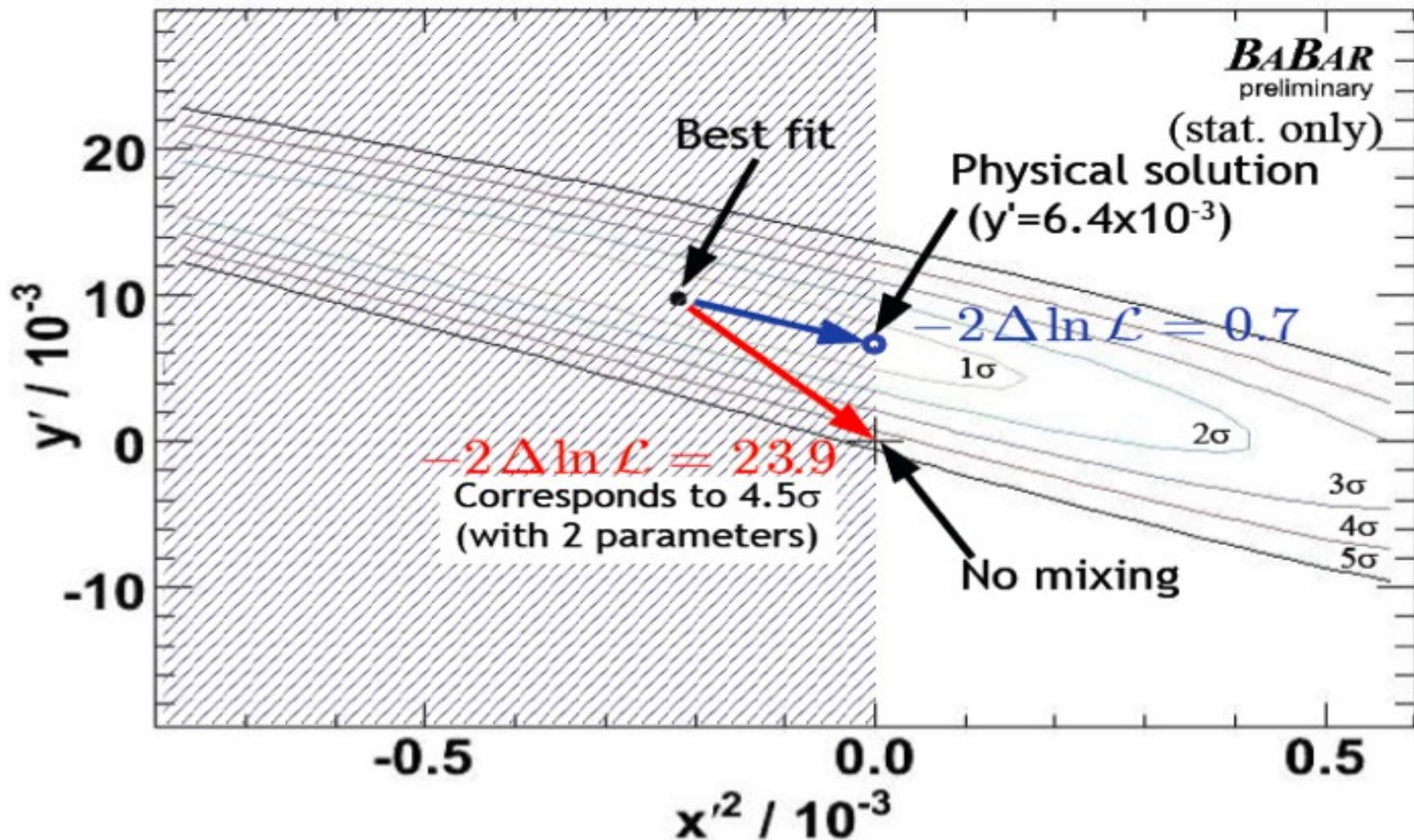
$$R_D = (3.03 \pm 0.16 \pm 0.10) 10^{-3}$$

$$\chi'^2 = (-0.22 \pm 0.30 \pm 0.21) 10^{-3}$$

$$y' = (9.7 \pm 4.4 \pm 3.1) 10^{-3}$$



Evidenza dell' Oscillazione



- Soluzione favorita non-fisica
- Includendo le sistematiche l'evidenza e' di 3.9 σ

Errori Sistematici



Fit e modello:

- Funzione di risoluzione
- PDF e frazioni di segnale e fondi

Selezione

- Sensibilita' ai tagli

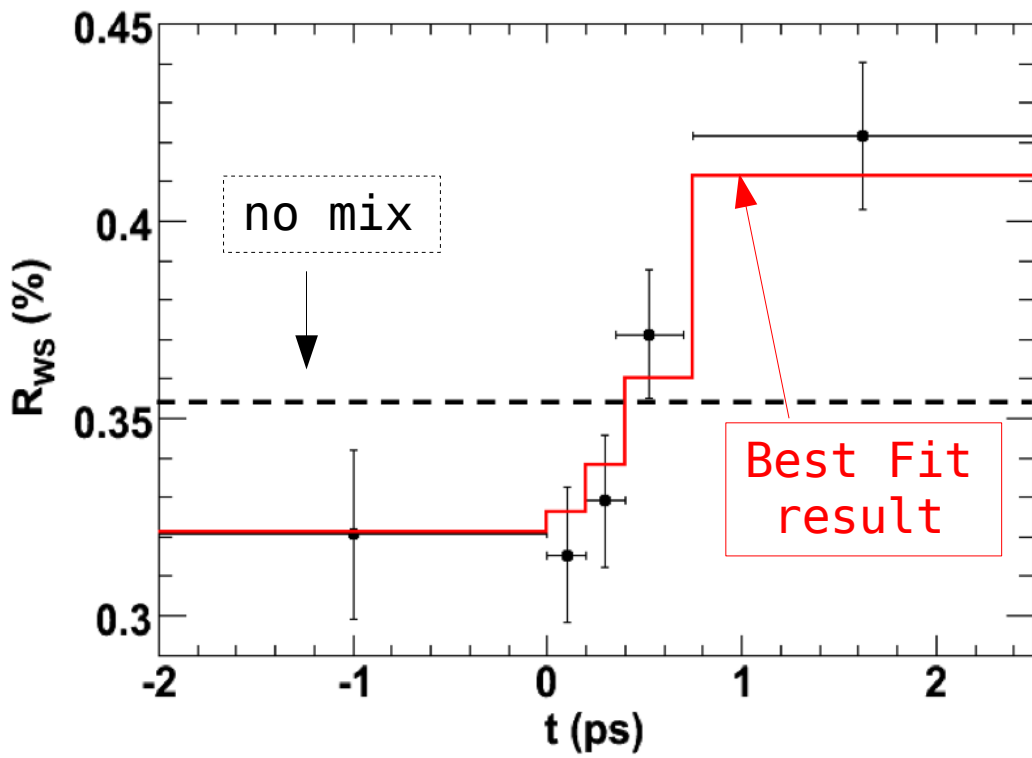
Par	Fit	Tagli	Totale
R_0	0.59	0.24	0.63
x'^2	0.40	0.57	0.70
y'	0.45	0.55	0.71

Errore sistematico espresso come frazione dell'errore statistico

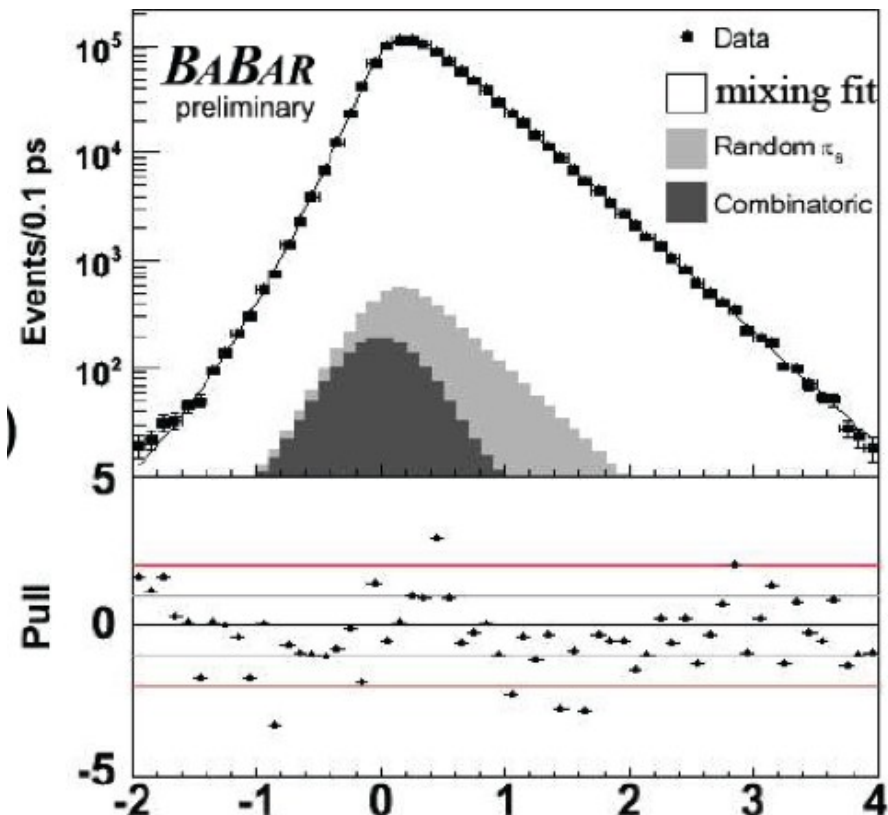
Validazioni ...



- Misura $r = WS/RS$ in cinque bin di t , da fit a $\Delta M, M(K\pi)$
- Nessuna ipotesi sulla dipendenza temporale di segnale e fondi



- Fit mixing nel campione Right Sign



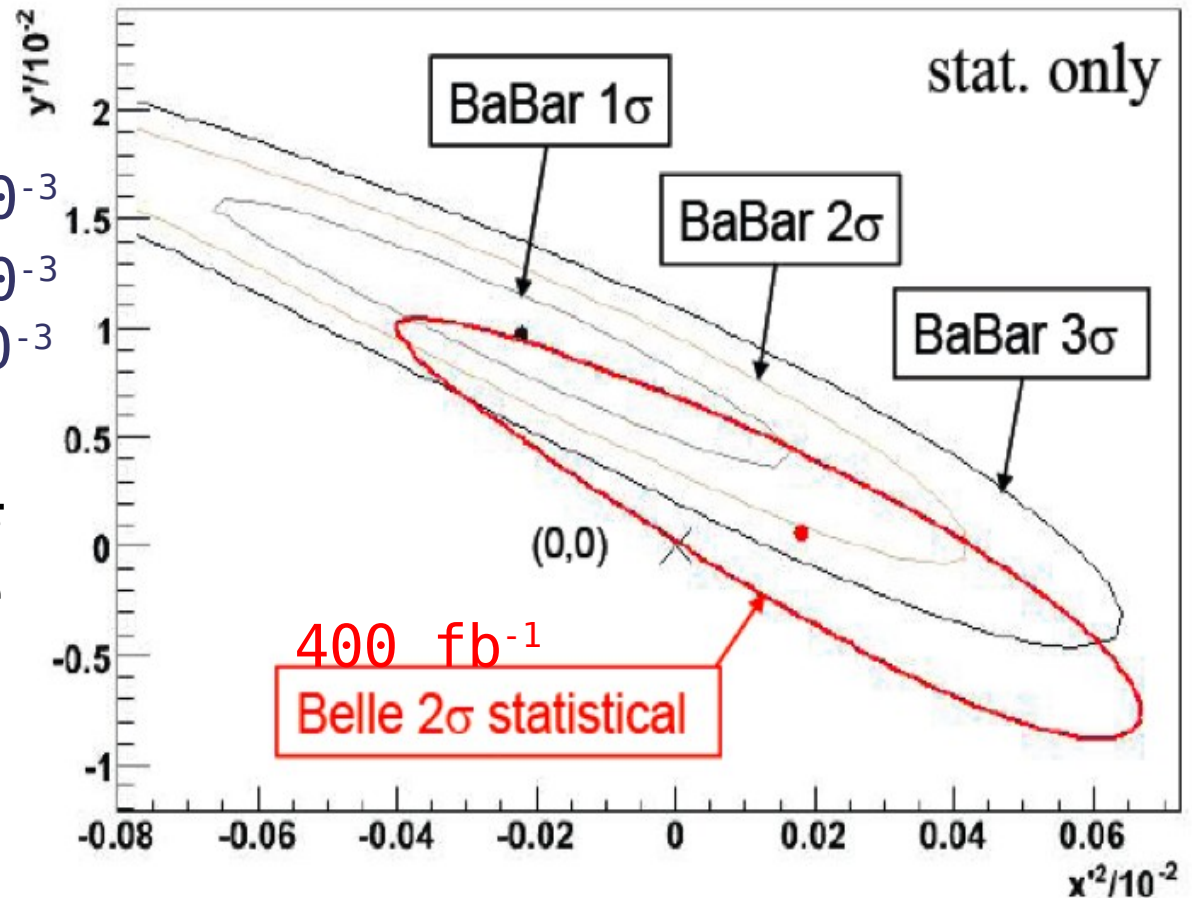
$$x'^2: (-0.01 \pm 0.01) \times 10^{-3}$$
$$y': (0.26 \pm 0.24) \times 10^{-3}$$
$$-2\Delta \ln \mathcal{L} = 1.4 \text{ (w.r.t. no mixing)}$$

Conclusioni (parziali)



$$R_D = (3.03 \pm 0.16 \pm 0.10) 10^{-3}$$
$$x'^2 = (-0.22 \pm 0.30 \pm 0.21) 10^{-3}$$
$$y' = (9.7 \pm 4.4 \pm 3.1) 10^{-3}$$

- $(0,0)$ escluso a 3.9σ
- risultato compatibile con precedente misura di Belle



- ☺ Prima osservazione dell'oscillazione D^0 anti- D^0
- ☹ x', y' fortemente correlati
- ☹ x', y' parametri efficaci (fase δ incognita)

y_{CP} da Autostati di Massa



- $\Gamma = \frac{1}{2} (\Gamma_1 + \Gamma_2) = (410 \text{ fs})^{-1}$ e' un parametro efficace
- Se CP conservata, $|D_{1,2}\rangle \equiv |D_{CP+,-}\rangle$
- Evoluzione temporale autostati CP +, CP- regolata da Γ_1 e Γ_2
- Si misura

$$y_{CP} = \frac{\Gamma(K^+ K^-)}{\Gamma(K^- \pi^+)} - 1 = \frac{\Gamma(\pi^+ \pi^-)}{\Gamma(K^- \pi^+)} - 1 = \frac{\Delta\Gamma}{\Gamma}$$

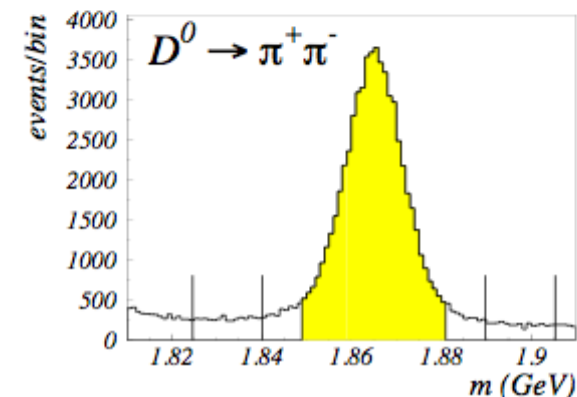
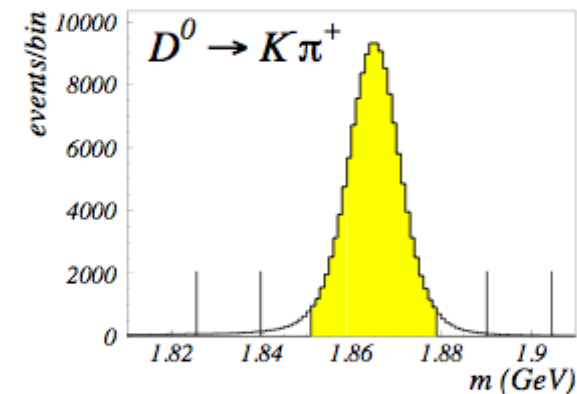
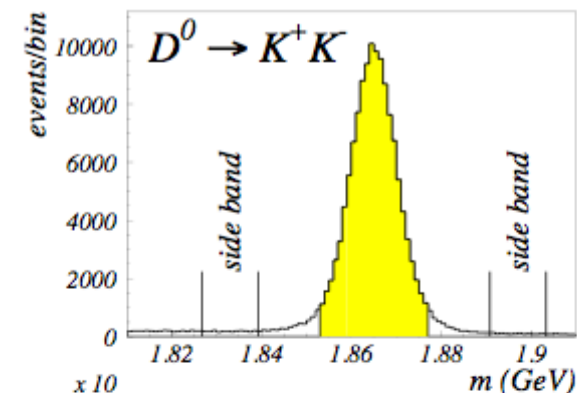
Y_{CP} Belle, Moriond



- Selezione eventi, controllo dei fondi, misura tempo proprio simili a misura precedente

540 fb⁻¹ :

channel	KK	$K\pi$	$\pi\pi$
signal	110K	1.2M	50K
purity	98%	99%	92%



y_{CP} Belle, Moriond

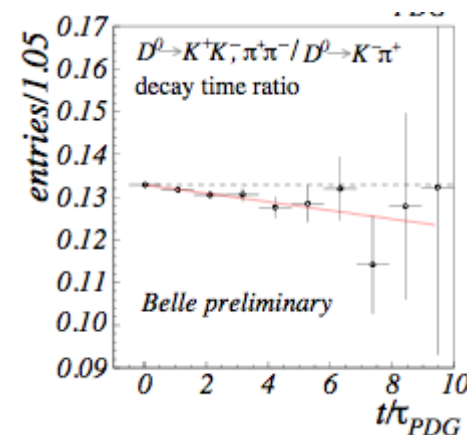
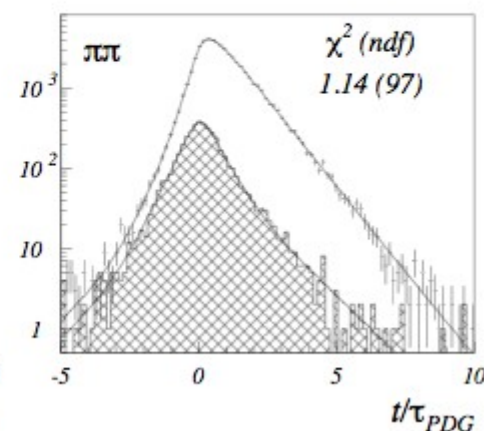
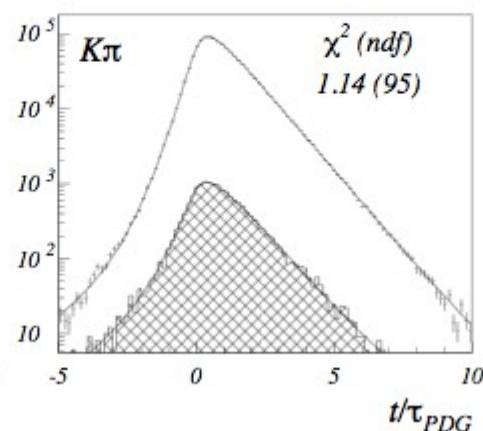
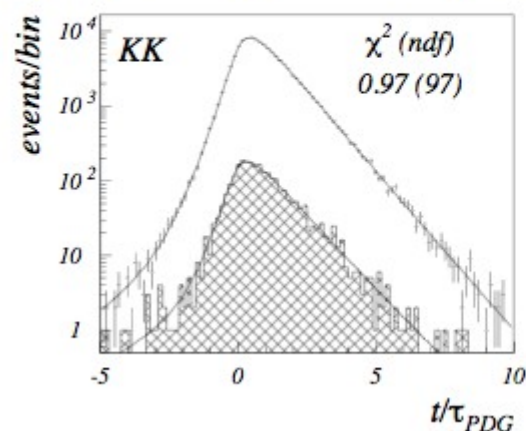


	y_{CP} (%)
KK	$1.25 \pm 0.39 \pm 0.28$
$\pi\pi$	$1.44 \pm 0.57 \pm 0.42$
$KK + \pi\pi$	$1.31 \pm 0.32 \pm 0.25$

Simultaneous $KK/\pi\pi/K\pi$ binned likelihood fit

quality of fit: $\chi^2 = 1.084$ (289)

$$\tau(K\pi) = 408.7 \pm 0.6 \text{ fs}$$



source	y_{CP}	A_{Γ}
acceptance	0.12%	0.07%
equal t_0 assumption	0.14%	0.08%
mass window position	0.04%	0.003%
difference btw. background and side bands	0.09%	0.06%
difference btw. final states in opening angle	0.02%	
background parameterization	0.07%	0.07%
resolution function	0.01%	0.01%
analysis cuts	0.11%	0.05%
binning	0.01%	0.01%
total	0.25%	0.15%

$y_{CP} = (1.31 \pm 0.32 \pm 0.25) \%$
4.1 σ stat
>3 σ stat+syst.



Separare X, Y : Analisi di Dalitz $D^0 / \bar{D}^0 \rightarrow K_S \pi^0 \pi^0$



Dalitz Plot :

- Cabibbo Favoriti : $D^0 \rightarrow K^{*-} \pi^+$, ...
- Cabibbo Sopressi : $D^0 \rightarrow K^{*+} \pi^-$, ...
- Autostati di CP (Massa) $D^0 \rightarrow K_S \rho^0$

Analisi evoluzione temporale sul Dalitz Plot misura simultaneamente

- Ampiezze CF, CS
- Fasi forti
- Parametri di Mixing

Il Metodo



Ampiezza time-dependent sul Dalitz Plot (CP conservata):

$$M(m_-^2, m_+^2, t) = A(m_-^2, m_+^2) \frac{e_1(t) + e_2(t)}{2} + A(m_+^2, m_-^2) \frac{e_1(t) - e_2(t)}{2}$$

$m_{+,-}$ e' definita col tag di D^* :

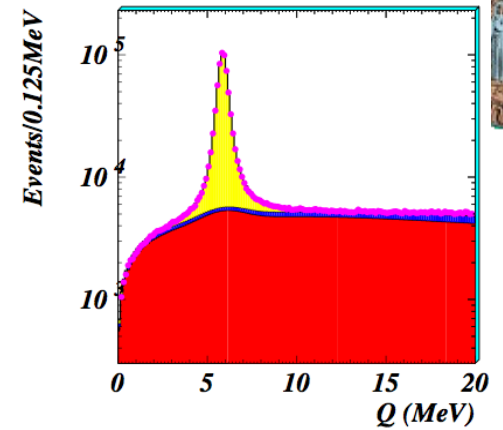
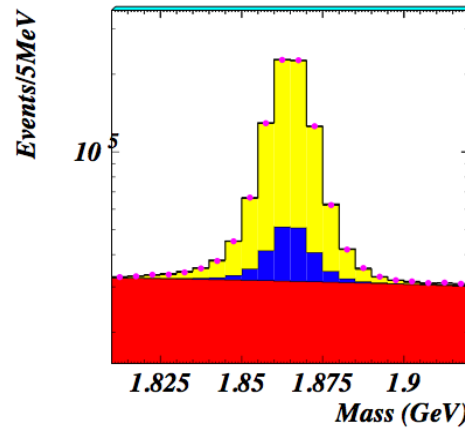
$$m_{\pm} = \begin{cases} m(K_s, \pi^{\pm}) & D^{*+} \rightarrow D^0 \pi^+ \\ m(K_s, \pi^{\mp}) & D^{*-} \rightarrow \bar{D}^0 \pi^- \end{cases}$$

$e_{1,2}(t)$ contengono la dipendenza da x, y :

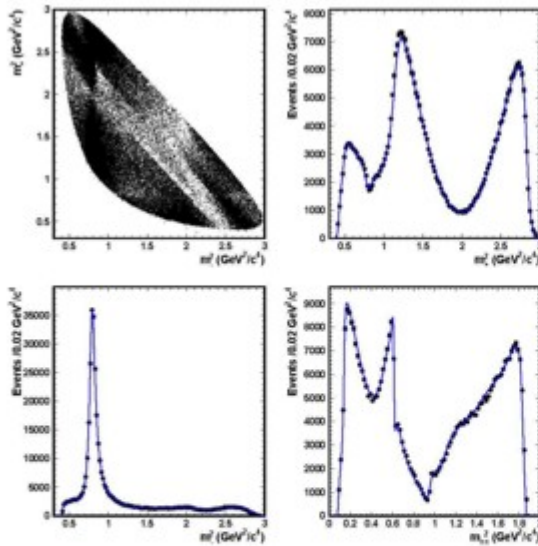
$$e_{1,2}(t) = e^{-i(m_{1,2} - i\Gamma_{1,2}/2)t}$$

Belle Moriond 2007

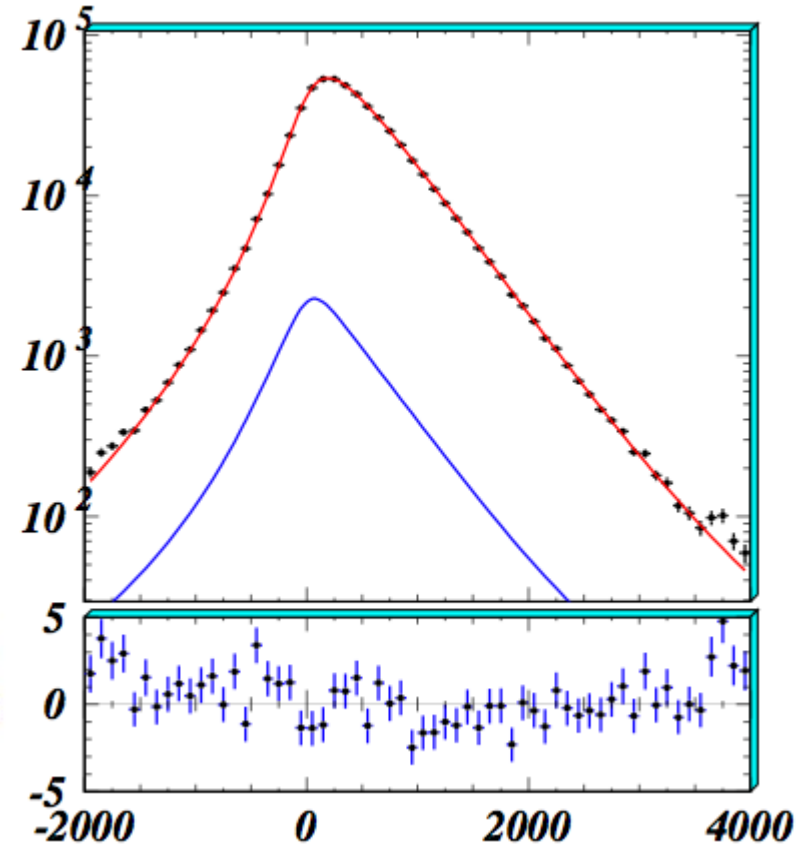
- 534000 eventi
- Purezza ~ 95 %



Dalitz fit



Resonance	Amplitude	Phase (deg)	Fit fraction
$K^*(892)^-$	1.629 ± 0.005	134.3 ± 0.3	0.6227
$K_0^*(1430)^-$	2.12 ± 0.02	-0.9 ± 0.5	0.0724
$K_2^*(1430)^-$	0.87 ± 0.01	-47.3 ± 0.7	0.0133
$K^*(1410)^-$	0.65 ± 0.02	111 ± 2	0.0048
$K^*(1680)^-$	0.60 ± 0.05	147 ± 5	0.0002
$K^*(892)^+$	0.152 ± 0.003	-37.5 ± 1.1	0.0054
$K_0^*(1430)^+$	0.541 ± 0.013	91.8 ± 1.5	0.0047
$K_2^*(1430)^+$	0.276 ± 0.010	-106 ± 3	0.0013
$K^*(1410)^+$	0.333 ± 0.016	-102 ± 2	0.0013
$K^*(1680)^+$	0.73 ± 0.10	103 ± 6	0.0004
$\rho(770)$	1 (fixed)	0 (fixed)	0.2111
$\omega(782)$	0.0380 ± 0.0006	115.1 ± 0.9	0.0063
$f_0(980)$	0.380 ± 0.002	-147.1 ± 0.9	0.0452
$f_0(1370)$	1.46 ± 0.04	98.6 ± 1.4	0.0162
$f_2(1270)$	1.43 ± 0.02	-13.6 ± 1.1	0.0180
$\rho(1450)$	0.72 ± 0.02	40.9 ± 1.9	0.0024
σ_1	1.387 ± 0.018	-147 ± 1	0.0914
σ_2	0.267 ± 0.009	-157 ± 3	0.0088
NR	2.36 ± 0.05	155 ± 2	0.0615



- ◆ Dalitz model: 13 different (BW) resonances and a non-resonant contribution
- ◆ Results with this refined model consistent with the analysis performed for the Belle ϕ_3 measurement, PRD73, 112009 (2006)
- ◆ To test the scalar $\pi\pi$ contributions, K-matrix formalism is also used

Risultati



$$x = 0.80 \pm 0.29 \pm 0.17 \%$$

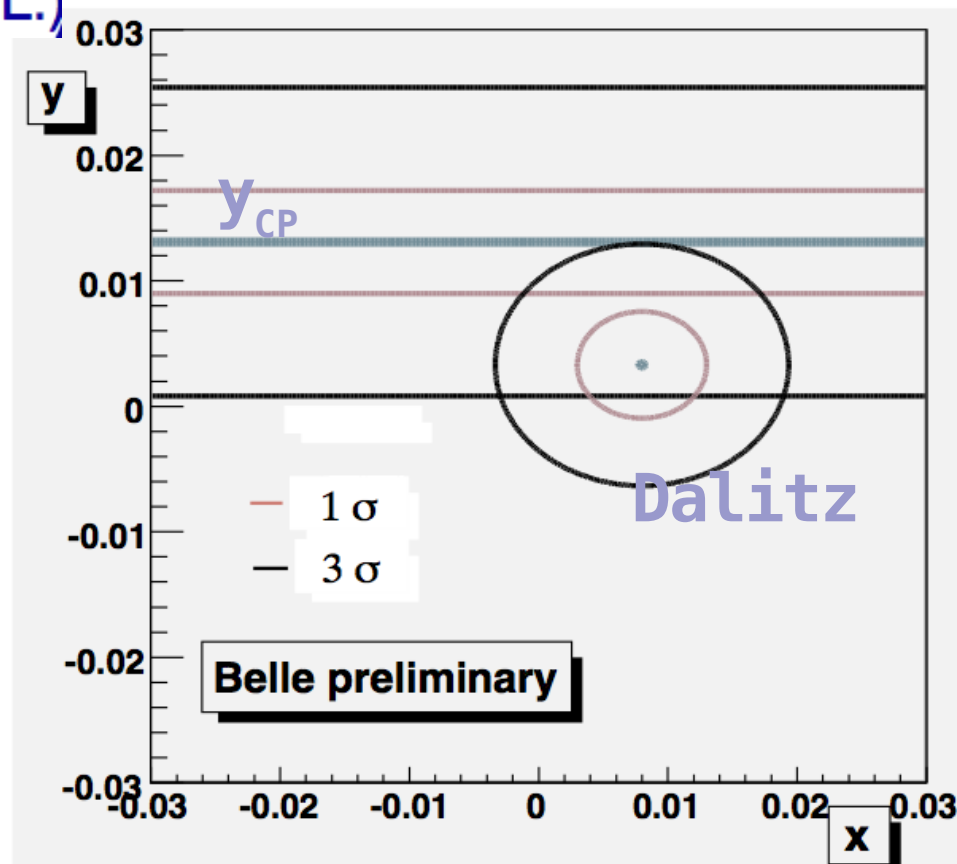
$$y = 0.33 \pm 0.24 \pm 0.15 \%$$

(x=0,y=0) point:

$$-2\Delta \ln L = 7.3 \text{ (2.6\% C.L.)}$$

- x, y non correlati
- $x > y$
- y consistente $\sim 2 \sigma$ con y_{CP}

σ syst :
Modello Dalitz (x),
Modello e PDF(t) (y)



CP conservata ?



$$|M^0(t)\rangle = e^{-\bar{\gamma}t/2} \left(\cosh(\Delta\gamma t/2) |M^0\rangle - \frac{q}{p} \sinh(\Delta\gamma t/2) |\bar{M}^0\rangle \right)$$

CP violata :

- funzione d'onda

$$\Delta = \frac{|q^2| - |p^2|}{|q^2| + |p^2|} \neq 0$$

- nel decadimento

$$A_f = A(D^0 \rightarrow f) \neq A(\bar{D}^0 \rightarrow \bar{f}) = \bar{A}_{\bar{f}}$$

Conseguenze

- diversi parametri per eventi con tag D^{*+} , D^{*-}
- autostati massa \neq autostati CP :

$$y_{CP} = y \cos \phi + x \Delta \sin \phi \neq y$$

$$\phi = \text{Arg} \left(\frac{q \bar{A}_{f_{CP}}}{p A_{f_{CP}}} \right) \quad (\simeq 2A^2 \sin^4 \theta_C \eta < 10^{-3} \text{ nel M.S.})$$

Verifiche



- Misure separate per D^{*+} / D^{*-} :

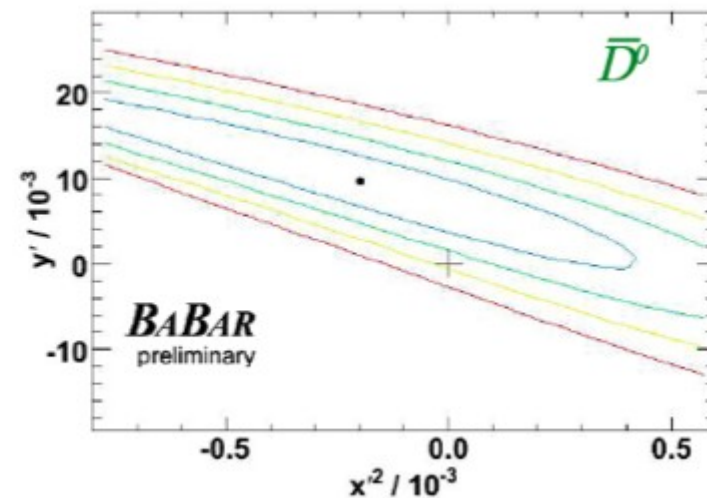
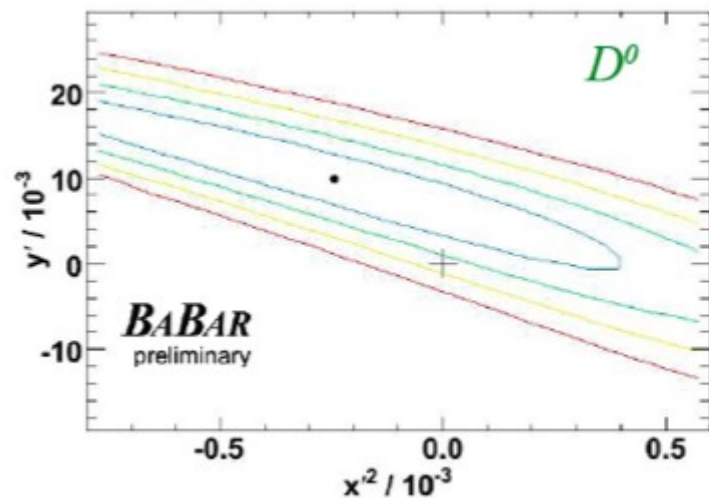
$$x'^{+2}: (-0.24 \pm 0.43 \pm 0.30) \times 10^{-3}$$

$$x'^{-2}: (-0.20 \pm 0.41 \pm 0.29) \times 10^{-3}$$

$$y'^{+}: (9.8 \pm 6.4 \pm 4.5) \times 10^{-3}$$

$$y'^{-}: (9.6 \pm 6.1 \pm 4.3) \times 10^{-3}$$

$$A_{CP} = \frac{\Gamma(D^0 \rightarrow KK/\pi\pi) - \Gamma(\bar{D}^0 \rightarrow KK/\pi\pi)}{\Gamma(D^0 \rightarrow KK/\pi\pi) + \Gamma(\bar{D}^0 \rightarrow KK/\pi\pi)} = (.01 \pm .30 \pm .15) \%$$



NESSUNA EVIDENZA DI ~~CP~~

Interpretazioni

Analisi (Bayesiana) che include tutte le misure



$$y'_{\pm} \downarrow = (1 \pm A_m)(y' \cos 2\phi_D \mp x' \sin 2\phi_D),$$

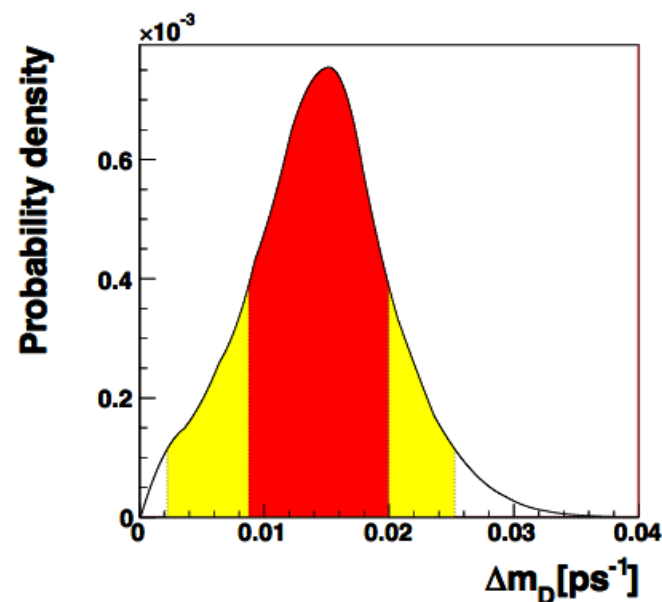
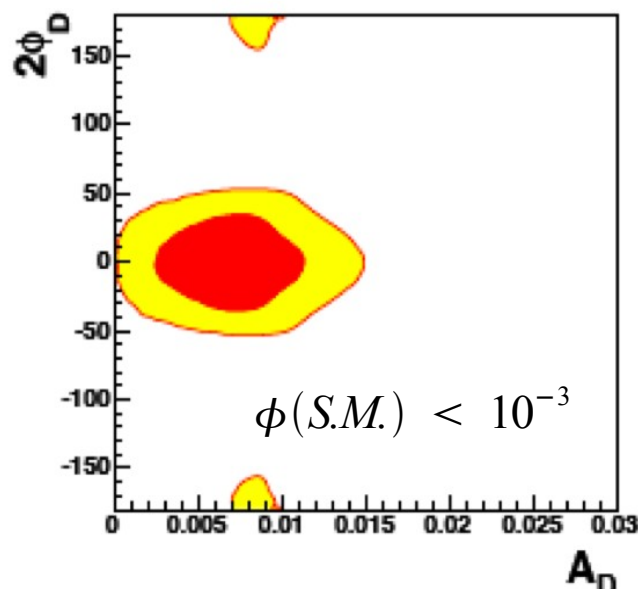
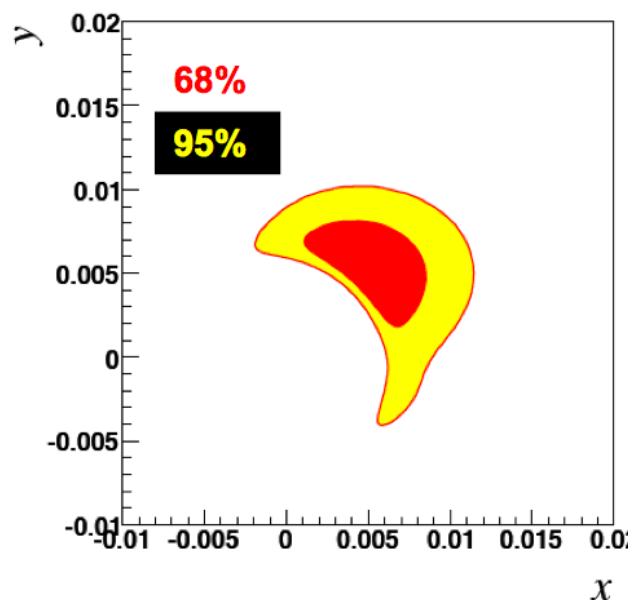
$$x'_{\pm} \downarrow = (1 \pm 2A_m)(x' \cos 2\phi_D \pm y' \sin 2\phi_D)^2,$$

$$y_{CP} = y \cos 2\phi_D - A_m x \sin 2\phi_D,$$

$$A_{\Gamma} = A_m y \cos 2\phi_D - x \sin 2\phi_D,$$

$$A_m = 1 - |q/p|$$

Parameter	68% prob.	95% prob.
x	$(5.5 \pm 2.2) \cdot 10^{-3}$	[0.0005, 0.0102]
y	$(5.4 \pm 2.0) \cdot 10^{-3}$	[0.0010, 0.0091]
$2\phi_D$	$(0 \pm 22)^{\circ}$	$[-50^{\circ}, 50^{\circ}]$
δ	$(-38 \pm 46)^{\circ}$	$[-130^{\circ}, 36^{\circ}]$
A_m	-0.02 ± 0.15	$[-0.33, 0.29]$
Δm_D [ps^{-1}]	$(14.5 \pm 5.6) \cdot 10^{-3}$	[0.0027, 0.0256]



$$\Delta m_D = (14.5 \pm 5.6) \times 10^{-3} \text{ ps}^{-1}$$

Ciuchini et al.

hep-ph/0703294

Vincoli su Nuova Fisica ?



- S.M. poco predittivo
- Tuttavia si possono estrarre delle conclusioni (generali) su N.F.
- V.Porretti (Meeting BABAR Italia) :

In molti scenari sono attesi notevoli segnali di D-Mixing

FCNC for D > FCNC for K

In words: in order to satisfy the bounds on the down sector, FCNC induced by the CKM must be shifted in the up sector.

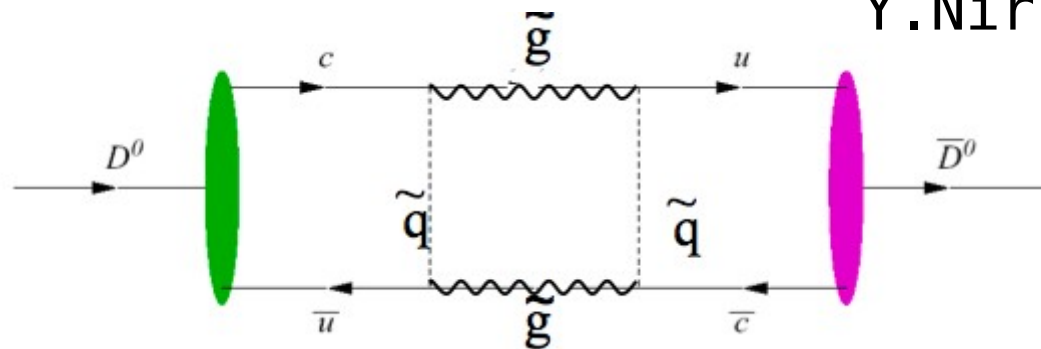
This is a general reasoning that applies also to other models that predict large signals in D mixing (variants of technicolor and 2HDM models, some scenarios in extraD, littlest higgs models...)

- Un esempio

D-Mixing & SUSY



Y.Nir hep-ph/0703325



- Questi diagrammi introducono sensibilita' a squarks e gluini

The measurements constrain squark and gluino masses > 2 TeV

- ... brutte nuove per LHC

(MSSM con allineamento
quark-squark)

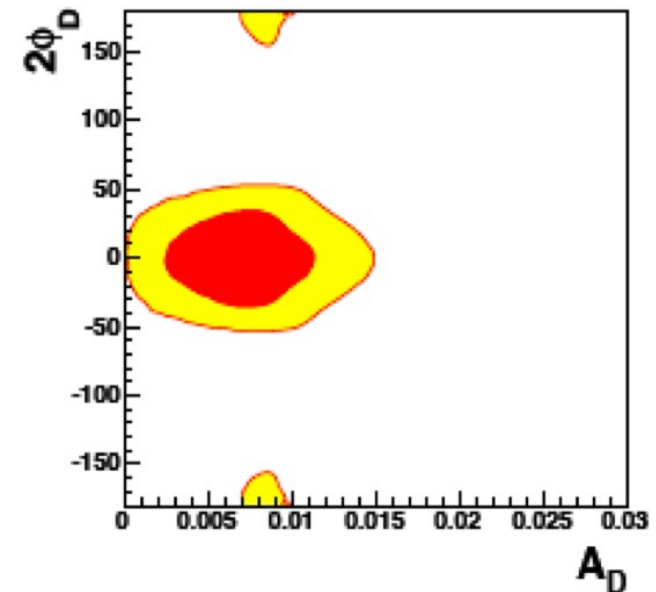
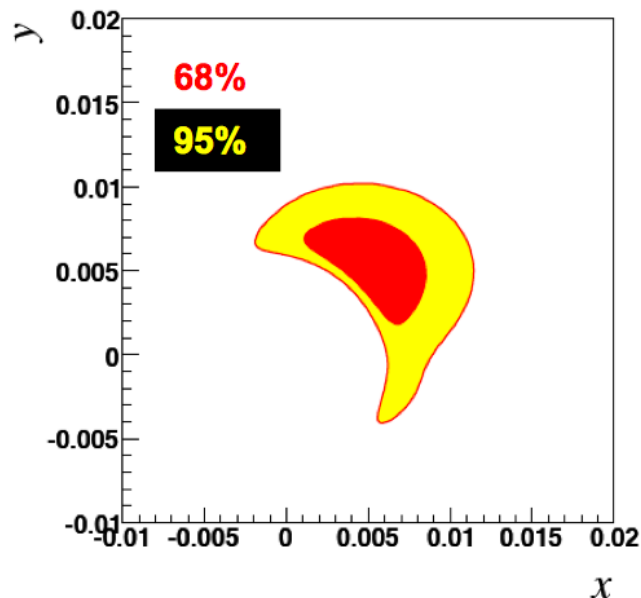
Ciuchini et al.
hep-ph/0703294

Conclusioni



Prime evidenze da BABAR e Belle di mixing del charm

- $x^2 + y^2 > 0$
- $x > y$?
- no CP ?



Misure attuali vincolano alcuni modelli di NF

- no squark-gluini @LHC (R-conserved SUSY with alignment)

Estate: nuovi risultati da B-factories

- Dalitz ($K3\pi, K_s\pi\pi, K^-\pi^+\pi^0$), γ_{CP} (BABAR)

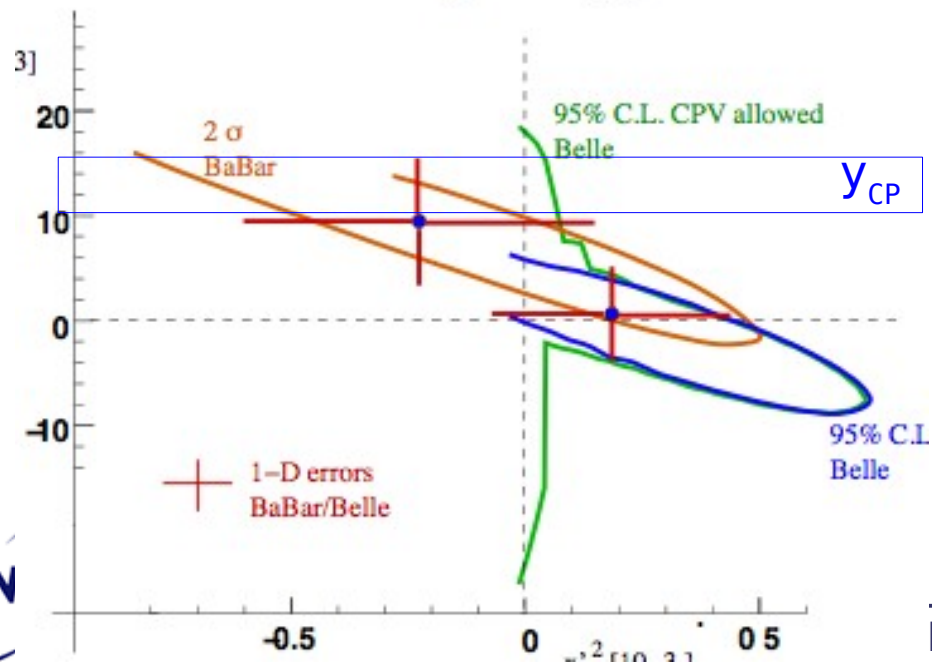
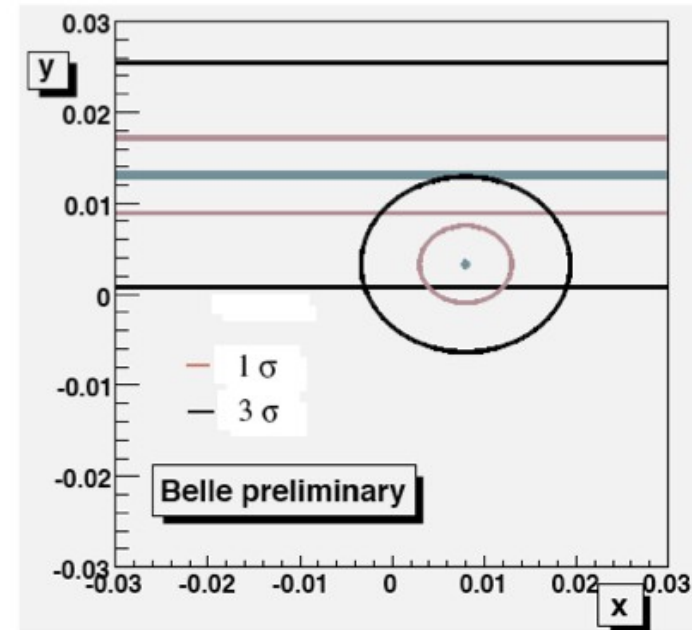
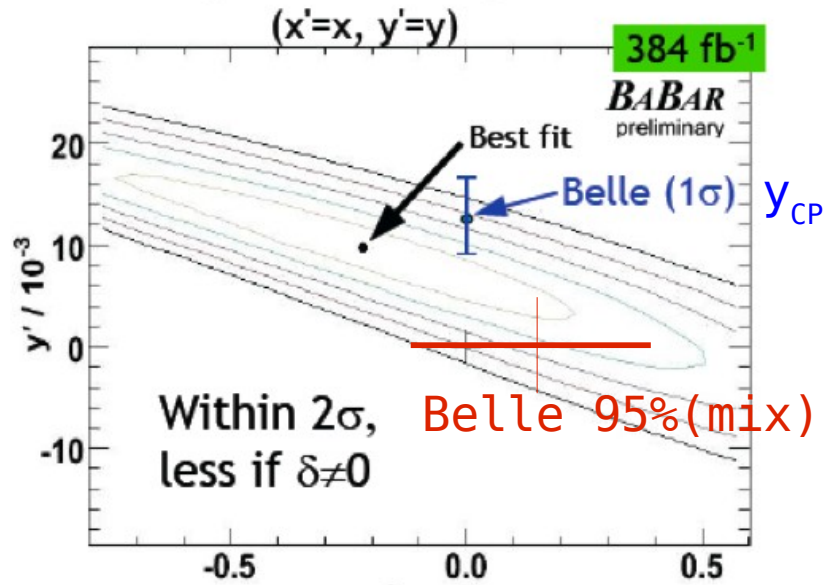


Miscellanea

Problemi di Consistenza ?



Compare assuming $\delta=0$:



Il canale semileptonico



- Manca un neutrino ! (fondi abbondano nel wrong-charge)



D-mixing with Semileptonic decay

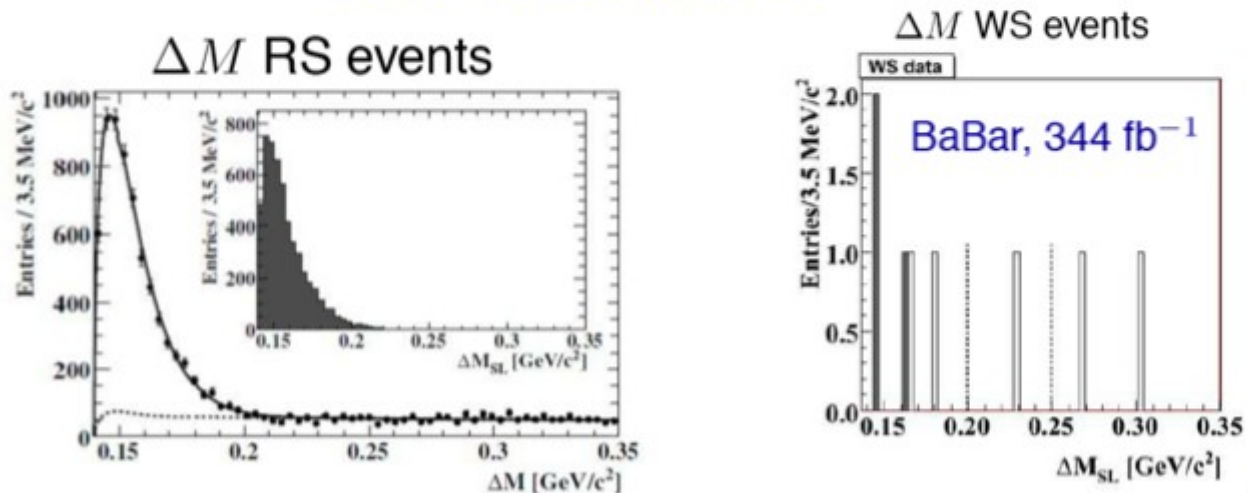


No DCS sl. ! $A_f = \bar{A}_{\bar{f}} = 0$ $r(t) = \frac{e^{-t}}{4} (x^2 + y^2) t^2 \left| \frac{q}{p} \right|^2$

Double tag

$D^{*+} \rightarrow D^0 \pi^+$, semil. and hadronic (fully rec.)

Several hadronic tagging modes



$$-1.3 \times 10^{-3} < R_M < 1.2 \times 10^{-3} \quad @ \ 90\% \ C.L.$$

35

Nuova Fisica ?



- Da Ciuchini et al ., citato :

$m_{\tilde{q}}$	$m_{\tilde{g}}$	$ (\delta_{12}^u)_{LL,RR} $	$ (\delta_{12}^u)_{LR,RL} $	$ (\delta_{12}^u)_{LL=RR} $
350	350	0.032	0.0056	0.0027
500	500	0.048	0.0080	0.0040
1000	1000	0.11	0.019	0.0080
500	1000	0.13	0.014	0.0060
500	350	0.028	0.0080	0.0036

TABLE III: Upper bounds at 95% probability for $|(\delta_{12}^u)_{AB}|$ for various values of squark and gluino masses (in GeV).

It is very interesting that SUSY models with quark-squark alignment generically predict $(\delta_{12}^u)_{LL} \sim 0.2$ [6]. We conclude that, to be phenomenologically viable, they need squark and gluino masses to be above ~ 2 TeV. Therefore, they probably lie beyond the reach of the LHC.